

This Page Is Inserted by IFW Operations  
and is not a part of the Official Record

## **BEST AVAILABLE IMAGES**

Defective images within this document are accurate representations of the original documents submitted by the applicant.

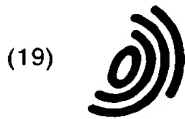
Defects in the images may include (but are not limited to):

- BLACK BORDERS
- TEXT CUT OFF AT TOP, BOTTOM OR SIDES
- FADED TEXT
- ILLEGIBLE TEXT
- SKEWED/SLANTED IMAGES
- COLORED PHOTOS
- BLACK OR VERY BLACK AND WHITE DARK PHOTOS
- GRAY SCALE DOCUMENTS

**IMAGES ARE BEST AVAILABLE COPY.**

**As rescanning documents *will not* correct images,  
please do not report the images to the  
Image Problem Mailbox.**





Europäisches Patentamt  
European Patent Office  
Office européen des brevets



(11) **EP 0 872 902 A1**

(12) **DEMANDE DE BREVET EUROPEEN**

(43) Date de publication:  
**21.10.1998 Bulletin 1998/43**

(51) Int Cl.<sup>6</sup>: **H01M 4/02, H01M 4/40**

(21) Numéro de dépôt: **98400913.4**

(22) Date de dépôt: **14.04.1998**

(84) Etats contractants désignés:  
**AT BE CH CY DE DK ES FI FR GB GR IE IT LI LU  
MC NL PT SE**  
Etats d'extension désignés:  
**AL LT LV MK RO SI**

(30) Priorité: **14.04.1997 CA 2202604**

(71) Demandeur: **HYDRO-QUEBEC  
Montréal Québec H2Z 1A4 (CA)**

(72) Inventeurs:  
• **Gauthier, Michel  
LaPrairie, Québec H5R 1E6 (CA)**

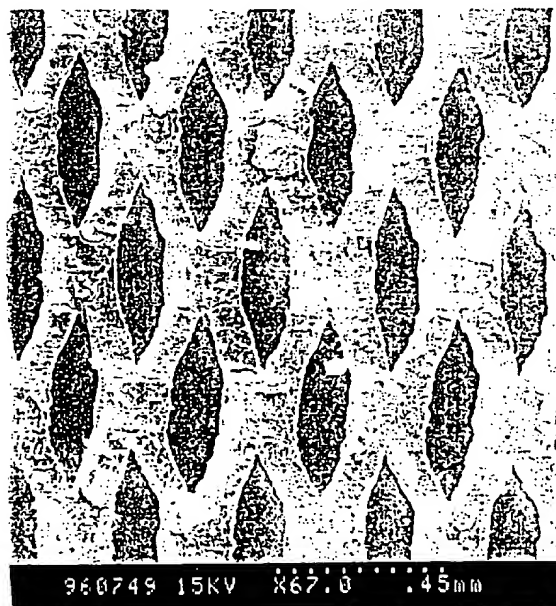
• **Zaghib, Karim  
Longueuil, Québec J4G 1H9 (CA)**  
• **Armand, Michel  
Montréal, Québec H3T 1N2 (CA)**  
• **Poirier, Sylvain  
Sainte-Julie, Québec J3E 1C1 (CA)**  
• **Bellemare, Roger  
Boucherville, Québec J4B 5R6 (CA)**

(74) Mandataire: **Bertrand, Didier et al  
c/o S.A. FEDIT-LORIOT & AUTRES  
CONSEILS EN PROPRIETE INDUSTRIELLE  
38, Avenue Hoche  
75008 Paris (FR)**

(54) **Feuillard d'anode alliée et dense à relaxation locale de stress**

(57) Générateur électrochimique comprenant des films minces incluant une électrode positive et son collecteur, et un feuillard d'un métal hôte destiné à constituer ultérieurement une électrode négative, de même qu'un électrolyte conducteur d'ions alcalins ainsi qu'une source d'ions alcalins. Le feuillard de métal hôte présente des vides dont la quantité et la disposition sont pro-

pres à absorber localement toute expansion latérale du feuillard de métal hôte et ainsi prévenir substantiellement tout changement cumulatif dans le plan du feuillard de métal hôte lorsqu'il y a formation initiale d'alliage dans le feuillard entre le métal hôte et un métal alcalin apporté par les ions alcalins. On décrit aussi une méthode de fabrication d'un tel générateur.



*Fig. 5b*

EP 0 872 902 A1

## Description

La présente invention concerne un feuillard d'anode allié et dense à relaxation locale de stress. Plus particulièrement, l'invention se rapporte à un générateur électrochimique incluant une électrode négative comprenant un feuillard d'un métal hôte notamment l'aluminium, le plomb, l'argent, le silicium, le zinc, le magnésium, le carbone, ou des combinaisons de ces derniers, le feuillard de métal hôte étant destiné à constituer ultérieurement une électrode négative et possédant la propriété d'absorber localement toute expansion latérale et de prévenir substantiellement tout changement dans le plan du feuillard lors de la formation d'alliage entre le métal hôte et le métal alcalin, notamment le lithium.

Les générateurs à électrolytes polymères les plus avancés utilisent le lithium métallique, parfois le sodium, ou d'autres métaux alcalins, comme feuillets d'anode. Les métaux alcalins sont malléables et peuvent être mis en oeuvre sous forme de films minces (CA 2,099,526 et 2,099,524). Toutefois l'usage du lithium métallique ou d'autres métaux alcalins présente dans certains cas d'utilisation extrême, e.g. à des températures supérieures à 100°C, des risques de fusion du lithium ou du métal alcalin et de destruction de la cellule électrochimique. De plus, dans des conditions forcées de cyclage électrochimique, la formation de dendrites par exemple de lithium peut être induite, notamment, par des courants de recharge trop élevés, avec tous les désavantages connus que cela implique, alors que l'alliage fonctionnant à un potentiel plus anodique, par exemple entre +300 à 450 mV pour le lithium aluminium vs le lithium, ne permet par le dépôt de lithium ni la croissance dendritique.

L'usage d'alliages de métaux alcalins notamment le lithium a été proposé et démontré avec succès dans le cas de générateurs fonctionnant en milieux sels fondus (U.S. 4.489.143). En milieux organiques, et plus particulièrement en milieu polymère, où les épaisseurs des films d'électrodes sont inférieures à 100 micromètres ( $\mu\text{m}$ ) il devient très difficile de mettre en oeuvre des feuillets d'anode alliés. En effet, les composés intermétalliques du lithium utilisables comme anodes, tels que  $\text{LiAl}$ ,  $\text{Li}_{21}\text{Si}_5$ ,  $\text{Li}_{21}\text{Sn}_5$ ,  $\text{Li}_{22}\text{Pb}_5$  et autres sont durs et cassants et ne peuvent être laminés comme le lithium ou le lithium faiblement allié.

Il a été montré (CA 1.222.543) que ces anodes peuvent être élaborés en film mince en produisant des composites constituées de poudres du composé intermétallique liées par l'électrolyte polymère, ou encore qu'il était possible dans certaines conditions de pré-lithier le feuillard du métal hôte de l'anode en traitant chimiquement la surface du feuillard (U.S. 4.590.840) ou en chargeant électrochimiquement une partie de ce feuillard (U.S. 4.794.060). Toutefois, ces techniques quoique fonctionnelles dans certaines conditions, mettent en oeuvre des matériaux réactifs, et les alliages pré-insérés sont souvent pyrophoriques ou posent des difficultés de mise en oeuvre et d'optimisation des performances. Lorsque les anodes sont préparées à l'état déchargé, une des difficultés majeures à surmonter vient de l'importante variation volumique résultant de la formation de l'alliage qui entraîne des stress importants sur la structure.

Lorsque l'on cherche à former l'alliage à partir d'un feuillard du métal hôte non-lithié lors de l'assemblage ou après l'assemblage d'un générateur à électrolyte polymère, l'expansion volumique de la structure dans le sens de l'épaisseur des feuillets peut être compensée par un design approprié de la cellule en accommodant par exemple l'augmentation d'épaisseur totale des feuillets superposés, d'autant plus que dans le sens de l'épaisseur, la variation est très courte et donc beaucoup plus négligeable.

L'expansion du métal hôte dans le plan des feuillets se cumule toutefois sur toute la surface de ce dernier et crée des plis afin d'accommoder le stress local généré par l'expansion. Il s'ensuit des courts-circuits entre les électrodes ou des défauts mécaniques qui nuisent au fonctionnement du générateur. Ce phénomène est illustré sur la photographie de la figure 4b dans le cas d'un feuillard d'aluminium ordinaire que l'on allie au lithium dans le dispositif à électrolyte polymère de la figure 3. Dans un accumulateur réel, les surfaces développées, l'adhésion des films entre eux et la pression maintenue sur l'ensemble de la cellule interdisent tout glissement de la structure hôte pour accommoder cette expansion latérale.

La présente invention concerne un générateur électrochimique comprenant des films minces incluant une électrode positive et son collecteur, et un feuillard d'un métal hôte destiné à constituer ultérieurement une électrode négative, de même qu'un électrolyte conducteur d'ions alcalins ainsi qu'un moyen constituant une source d'ions alcalins, caractérisé en ce que ledit feuillard de métal hôte présente des vides, la quantité de vides et leur disposition dans ledit feuillard de métal hôte étant propre à absorber localement dans lesdits vides toute expansion latérale dudit feuillard de métal hôte et ainsi prévenir substantiellement tout changement cumulatif dans le plan dudit feuillard de métal hôte lorsqu'il y a formation initiale d'alliage dans ledit feuillard entre ledit métal hôte et un métal alcalin apporté par lesdits ions alcalins.

A l'état chargé, il est à noter que le générateur selon la présente invention est caractérisé en ce que ledit feuillard est au moins en partie devenu un alliage dudit métal hôte et dudit métal alcalin.

Selon une réalisation préférée de l'invention, la source d'ions alcalins est constituée par un feuillard de métal alcalin mis en contact avec ledit feuillard de métal hôte, le métal alcalin au départ de ladite source d'ions alcalins étant allié avec ledit métal hôte lorsque le générateur est à l'état chargé.

Selon une autre réalisation, la source d'ions alcalins se retrouve dans l'électrode positive, le métal alcalin au départ de ladite source d'ions alcalins et du feuillard de métal alcalin étant allié avec ledit métal hôte lorsque le générateur

est à l'état chargé.

Selon une autre réalisation, la source d'ions alcalins est constituée par un feuillard de métal alcalin mis en contact avec ledit feuillard de métal hôte, et se retrouve aussi dans l'électrode positive, le métal alcalin au départ de ladite source d'ions alcalins et du feuillard de métal alcalin étant allié avec ledit métal hôte lorsque le générateur est à l'état chargé. De préférence, le métal alcalin est le lithium.

Selon une autre réalisation, le métal hôte est constitué d'un métal capable de former des alliages à haute activité en métal alcalin et dans lequel la diffusion du métal alcalin est rapide. Par exemple, ces alliages à haute activité en métal alcalin possèdent un potentiel compris entre 0 et + 1,5 Volt par rapport au potentiel du métal alcalin pur. Le métal hôte est choisi de préférence parmi Al, C, Sn, Pb, Ag, Si, Zn, Mg ou des combinaisons de ces derniers. Il est entendu que dans le contexte de la présente invention, on considérera que le carbone est un métal bien que ce ne soit pas strictement le cas.

Les vides du feuillard de métal hôte représentent habituellement entre environ 5 et 80% de la surface totale dudit feuillard de métal hôte, de préférence entre environ 5 et 30%. Ceux-ci peuvent se présenter sous forme de grillage, ou sous forme de métal déployé obtenu par découpe-étirement et éventuellement relaminage.

De préférence, l'électrolyte conducteur d'ions alcalins comprend un électrolyte polymère. Il peut aussi être une matrice polymère, un électrolyte liquide ainsi qu'un sel au moins partiellement soluble dans l'électrolyte liquide.

Les vides peuvent se présenter sur une seule ou deux des faces du feuillard de métal hôte alors qu'ils sont sous forme d'entailles. De préférence, les entailles sont obtenues par un procédé de gravure ou d'entaillage et dont le taux de vides représente entre environ 5 et 80%, de préférence entre 5 et 30% des faces comportant des entailles. Les entailles sont normalement agencées de façon à compenser sensiblement toute expansion linéaire, résultant de la formation d'alliage, dans le plan du feuillard de métal hôte.

Selon une autre réalisation, le feuillard de métal hôte comporte une couche d'électrolyte polymère sur au moins l'une de ses faces, la couche étant disposée sur le feuillard de métal hôte de façon à maximiser les échanges ioniques entre l'alliage et l'électrolyte conducteur d'ions alcalins agissant comme séparateur entre l'électrode négative et l'électrode positive.

L'électrolyte polymère peut contenir du carbone distribué dans l'électrolyte polymère de façon à agir comme additif de conduction électronique, afin de maximiser les échanges ioniques et les échanges électroniques.

Le feuillard de lithium peut se situer d'un seul côté du feuillard de métal hôte. Il peut aussi se situer des deux côtés du feuillard de métal hôte.

Généralement on obtient l'alliage au moment de l'assemblage du générateur. On peut aussi l'obtenir au moment d'une réaction d'activation consécutive à l'assemblage du générateur.

Selon une autre réalisation, le feuillard de lithium se situe sur la face du feuillard de métal hôte opposée à l'électrode positive, de façon à différer la formation d'alliage après l'assemblage du générateur et à maximiser la sécurité des procédures d'assemblage du générateur. De préférence, le métal hôte est en quantité excédentaire par rapport au métal alcalin de façon à laisser une partie du métal hôte non réagi lui permettant ainsi d'agir comme collecteur de courant sur le plan du feuillard de métal hôte.

Normalement, le générateur selon l'invention est constitué de films enroulés cylindriques ou à plat ou empilés à plat. De plus, il est préférable que le feuillard de métal hôte et le collecteur de l'électrode positive excèdent de chaque côté des films enroulés ou à plat ou empilés à plat de façon à permettre une prise de courant efficace sur toute l'arête latérale respectivement du collecteur et du feuillard de métal hôte. La prise de courant s'obtient par exemple par pulvérisation de métal conducteur sur ladite arête latérale des feuillards.

Selon une autre réalisation, le feuillard d'électrode négative en alliage est obtenu après assemblage du générateur par traitement thermique du feuillard de métal hôte et du feuillard de métal alcalin en contact avec le feuillard de métal hôte, le traitement thermique étant effectué sous pression ou confinement mécanique et dans des conditions assurant le maintien de la planéité du feuillard d'électrode négative.

De préférence, le métal hôte a une épaisseur entre environ 1 et 150  $\mu\text{m}$ , plus particulièrement entre environ 10 et 100  $\mu\text{m}$ .

L'invention se rapporte aussi à une méthode de fabrication d'un générateur électrochimique selon laquelle on prépare des films minces incluant une électrode positive et son collecteur, et un feuillard d'un métal hôte destiné à constituer ultérieurement une électrode négative de même qu'un électrolyte conducteur d'ions alcalins, ainsi qu'un moyen constituant une source d'ions alcalins et l'on dispose l'électrode négative et le feuillard de part et d'autre de l'électrolyte conducteur, caractérisé en ce que l'on choisit le feuillard à partir d'un feuillard d'un métal hôte présentant des vides, la quantité de vides et leur disposition dans le feuillard de métal hôte étant propre à absorber localement dans les vides toute expansion latérale du feuillard de métal hôte et ainsi prévenir substantiellement tout changement cumulatif dans le plan du feuillard de métal hôte lorsqu'il y a formation initiale d'alliage dans le feuillard entre le métal hôte et un métal alcalin apporté par les ions alcalins, et l'on assemble ensuite les films, l'électrolyte conducteur et la source d'ions alcalins de façon à constituer le générateur.

La présente invention porte donc par exemple sur la formation d'un feuillard d'anode allié obtenu de préférence

lors de l'assemblage du générateur à partir du feuillard d'un métal hôte ajouré et d'une source de lithium. La formation de l'alliage est de préférence faite au moment de l'assemblage du générateur ou dans une étape ultérieure de conditionnement de l'alliage. Les procédés utilisés de préférence consistent en un traitement chimique d'un métal hôte à partir d'un feuillard de lithium métallique ou, encore à partir d'une charge électrochimique du métal hôte à partir d'une cathode préalablement lithiée, par exemple renfermant du  $\text{LiCoO}_2$ ,  $\text{Li}_2\text{Mn}_2\text{O}_4$  (U.S. 5.425.932).

L'apport principal de l'invention consiste à utiliser un feuillard de métal hôte ajouré afin de permettre d'absorber "localement" le stress mécanique sur la structure du feuillard et de son environnement qui résulte de l'expansion volumique associée à la formation de l'alliage. Un exemple non-limitatif d'une structure hôte d'aluminium utilisable est illustré à la figure 1 dans le cas d'un produit disponible commercialement sous le nom de EXMET® et utilisé couramment comme collecteur de courant inerte dans certains accumulateurs. Il a été constaté que ces collecteurs pouvaient également avoir la propriété recherchée pour l'invention et le nouvel usage ainsi que le bon fonctionnement en tant qu'anode dans des générateurs à électrolytes polymères notamment au niveau du cyclage et de la sécurité, a été démontré. Le taux d'ouverture des produits présentement disponibles est très élevé, par exemple près de 50% de la surface ajourée, tel qu'illustré à la figure 1 pour un feuillard de 25 micromètres d'épaisseur. Ce pourcentage d'ouverture peut être réduit de façon à former une surface d'anode pratiquement pleine après la formation de l'alliage.

Bien entendu, d'autres structures reproduisant les caractéristiques de l'invention sont possible, telles qu'obtenues, par exemple, par gravure de motifs encavés dans un feuillard par des procédés mécaniques ou autres. La disposition des ajours et/ou des espaces vides, leur dimension et leur pourcentage volumique du feuillard étant choisis afin d'absorber l'expansion volumique du métal hôte dans le plan du feuillard, de façon à optimiser la densité du feuillard allié après réaction et à conserver plane la surface du feuillard allié. Les figures 2 a et 2 b de l'invention illustrent le comportement du feuillard hôte lors de la formation de l'alliage.

Un des avantages de la présente invention est en outre sa simplicité de mise en oeuvre et son caractère sécuritaire du fait que l'alliage est sous forme dense (non-composite) et de préférence formé après la mise en oeuvre du générateur. De plus, l'invention permet l'optimisation de la densité d'énergie volumique par l'existence de zones denses et de la puissance du générateur par le contrôle du taux d'ajours et la présence optionnelle de polymère dans les espaces résiduels du feuillard d'anode après formation de l'alliage et expansion de la structure. Un autre bénéfice de l'invention, lorsque mise en oeuvre avec des électrolytes polymères, est de minimiser le taux de pénétration de l'électrolyte polymère dans les parties denses de l'anode et ainsi de préserver la qualité des contacts électriques dans la structure allié. En effet, puisque le polymère ne pénètre pas dans l'alliage, il ne peut isoler les particules de ce dernier.

Une façon avantageuse de mettre en oeuvre l'invention consiste à contrôler la quantité de lithium dans la source de façon à laisser après la formation de l'alliage une partie du métal hôte non-réagi pour jouer le rôle de collecteur latéral dans le plan du feuillard.

Une façon simple de mettre en oeuvre l'anode de l'invention consiste à appliquer le feuillard EXMET® précédemment décrit contre un feuillard de lithium d'épaisseur prédéterminée. L'essentiel de cette opération est illustré aux figures 2 a, 2 b et 3 et sera décrit en détail dans les exemples qui suivent. Bien entendu, le taux d'ajours, la façon de réaliser les espaces vides et leur forme géométrique pour optimiser la densité du feuillard allié et amortir le stress généré localement par la formation de l'alliage peuvent varier selon la nature du métal hôte et la densité d'énergie recherchée, et en fonction d'autres paramètres connus de l'homme de métier. A titre indicatif, le tableau I et la figure 13 illustrent les propriétés essentielles d'un certain nombre des composés hôtes possibles ainsi que les variations de volume résultant de la formation de l'alliage de lithium équivalent, de façon à optimiser le taux d'ajours.

De façon assez générale mais non limitative, le taux d'ajours variera entre 5 et 80%, de préférence entre 5 et 30%, de façon à obtenir un feuillard sensiblement dense et plat dont les performances électrochimiques et sécuritaires seront optimales. En pratique, la quantité de métal hôte vis-à-vis de la quantité de lithium métallique est généralement ajusté de façon à laisser un excès du premier pour qu'il puisse agir comme collecteur de courant de l'anode dans le plan du feuillard.

Pour certains métaux comme l'aluminium, il a été constaté que l'usage d'un mince film d'une composite de carbone en surface de métal hôte facilite la formation uniforme de l'alliage, notamment au niveau de la qualité des contacts électroniques.

Selon le type de générateur recherché, on utilisera un ou deux feuillets de lithium pour un feuillard central du métal hôte, ou vice versa, deux feuillets de métal hôte pour un feuillard de lithium.

Tel qu'illustré à la figure 12a, une façon préférée de réaliser le générateur électrochimique consiste à co-enrouler les feuillets de la cathode (collecteur et cathode composite) et de l'électrolyte avec l'anode sous forme d'un feuillard du métal hôte et un feuillard de lithium, et dans un système monoface, avec film plastique isolant tel que le polypropylène.

La figure 12b, est une façon préférée de réaliser le générateur électrochimique qui consiste à co-enrouler les feuillets de la cathode (collecteur et cathode composite) et de l'électrolyte avec l'anode sous forme d'un feuillard du métal hôte et deux feuillets de lithium et dans un système biface. Dans cet assemblage, les feuillets respectifs de la cathode (collecteur) et de l'anode (métal hôte en débordement du lithium) débordent de chaque côté de l'enroulement

de façon à permettre la collection des électrodes sur l'ensemble de l'arête de chaque feuillard en excès. Un métal pulvérisé peut alors être appliqué aux extrémités de l'enroulement afin d'assurer un échange électrique et thermique optimal.

L'invention est d'autre part illustrée par les dessins annexés, donnés sans caractère limitatif et dans lesquels

la figure 1 est une reproduction d'une photographie au microscope électronique à balayage, à l'échelle x220, d'un feuillard d'aluminium déployé de type EXMET® ;

la figure 2a est un schéma en perspective illustrant la formation d'une électrode alliée selon la présente invention;

la figure 2b est une vue en coupe de l'illustration représentée sur la figure 2a;

la figure 3 est un schéma en coupe verticale d'un dispositif expérimental permettant l'observation optique in situ de la formation d'un alliage à partir d'un feuillard de lithium et d'une structure hôte d'aluminium déployé;

la figure 4a est une reproduction d'une photographie illustrant l'apparence d'un feuillard d'aluminium "pleine surface" et d'un feuillard de lithium appliqué mécaniquement sur le feuillard d'aluminium au moyen du dispositif selon la figure 3, avant formation d'alliage;

la figure 4b est une reproduction d'une photographie selon la figure 4a, mais après formation d'alliage et disparition du lithium par réaction chimique à 80°C;

la figure 4c est une reproduction d'une photographie illustrant l'apparence d'un feuillard d'aluminium déployé et d'un feuillard de lithium au moyen du dispositif selon la figure 3, après formation d'alliage;

la figure 5a est une reproduction précise d'une photographie au microscope électronique à balayage montrant le détail d'un feuillard EXMET® identique à celui illustré en figure 1, après chauffage d'un feuillard d'aluminium déployé avec un feuillard de lithium à 80°C, dans un dispositif illustré en figure 3;

la figure 5b est une reproduction d'une photographie au microscope électronique à balayage du même feuillard que celui illustré en figure 5a, mais illustrant une plus grande surface démontrant l'absence de pli ou de cannelure;

la figure 6a est un schéma en coupe verticale illustrant la fabrication d'un générateur selon l'invention avec pile à anode monoface;

la figure 6b est un schéma similaire à celui de la figure 6a, mais pour une pile à anode monoface avec film à base de carbone de type I;

la figure 6c est un schéma similaire à celui de la figure 6a, mais pour une pile à anode monoface avec film à base de carbone de type II;

la figure 6d est un schéma similaire à celui de la figure 6a, mais pour une pile à anode monoface avec film à base de carbone de type III;

la figure 6e est un schéma similaire à celui de la figure 6a, mais pour une pile à anode biface;

la figure 7 est un graphique montrant des courbes de décharges initiales comparées d'un générateur conventionnel au lithium et d'un générateur selon la figure 6b;

la figure 8 est un graphique portant sur la stabilité comparée par la technique ARC pour un générateur conventionnel et un générateur selon la présente invention;

la figure 9 est un graphique similaire à celui de la figure 7 sauf que le générateur est celui de la figure 6c;

la figure 10 est un graphique montrant les courbes de cyclage d'un générateur illustré en figure 6b;

la figure 11 est un graphique montrant les courbes de cyclages d'un générateur illustré en figure 6d;

la figure 12a est un schéma en perspective d'assemblage d'une pile enroulée à plat en mode monoface à l'état déchargé selon l'invention;

la figure 12b est un autre schéma d'assemblage d'une pile enroulée à plat en mode biface à l'état déchargé selon l'invention; et

la figure 13 est un graphique montrant l'expansion volumique de différents alliages.

En figure 1 l'aluminium déployé a 25 micromètres d'épaisseur et fut découpé, étiré et aplani.

En se référant maintenant aux figures 2a et 2b, il s'agit d'une illustration du principe de mise en oeuvre par voie chimique d'une électrode négative alliée "dense" avec relaxation locale de stress. En figure 2a, il s'agit de la séquence des opérations de formation du feuillard allié; en figure 2b il s'agit du comportement en coupe du feuillard déployé lors de la formation. Dans cet exemple, une pression est maintenue entre le feuillard d'aluminium déployé et le feuillard de lithium de façon à bien assurer le contact entre les feuillets et à éviter la déformation en surface des feuillets. Une élévation de la température favorise la formation rapide de l'alliage qui peut être réalisée par exemple dans le dispositif de la figure 3.

En se référant aux figures 6a à 6e, le collecteur représenté est généralement un feuillard d'aluminium ordinaire, SPE représente l'électrolyte polymère, et C désigne un mince film de carbone dispersé dans un liant électrolyte polymère. (+) représente une cathode composite formée du matériau actif chargé, de carbone et d'un liant électrolyte polymère. H représente le feuillard du métal (A1) hôte déployé avant la formation de l'alliage LiA1. En plus de détail, il s'agit de ce qui suit:

figure 6a: pile monoface selon la séquence:  
collecteur d'A1/(+)/SPE/Li<sup>0</sup>/H;

figure 6b: pile à anode monoface avec film de composite C de Type I  
collecteur d'A1/(+)/SPE/Li<sup>0</sup> %C/H

figure 6c: pile à anode monoface avec film de composite C de Type II  
collecteur d'A1/(+)/SPE/H/C/Li<sup>0</sup>

figure 6d: pile à anode monoface préparée à l'état déchargée, avec film de composite C de type III  
collecteur d'Al/LiCoO<sub>2</sub>/SPE/C/H

figure 6e: pile à anode biface selon la séquence:  
collecteur d'A1/(+)/SPE/Li<sup>0</sup>/H/Li<sup>0</sup>/SPE/(+)/Collecteur d'A1

Au sujet de la figure 7, les courbes de décharges initiales comparées se rapportent aux piles suivantes:

a) collecteur d'Al/(V<sub>2</sub>O<sub>5</sub>)/SPE/Li<sup>0</sup>

et

b) collecteur d'Al/(V<sub>2</sub>O<sub>5</sub>)/SPE/Li<sup>0</sup>C/H où H = A1 sous forme EXMET®, de Type I.

Au sujet de la figure 8, les essais de stabilité concernent les piles suivantes:

a) SPE/Li<sup>0</sup>

b) collecteur d'Al/(V<sub>2</sub>O<sub>5</sub>)/SPE/H/C/Li<sup>0</sup> où H = A1 sous forme EXMET®.

Sur la figure 9 les courbes de décharges initiales comparées sont celles des piles:

a) collecteur d'Al/(V<sub>2</sub>O<sub>5</sub>)/SPE/Li<sup>0</sup>

et

b) collecteur d'Al/(V<sub>2</sub>O<sub>5</sub>)/SPE/H/C/Li<sup>0</sup> où H = A1 sous forme EXMET® de type II.

La figure 10 montre des courbes de cyclage de la pile de type 1 décrites à l'exemple 3 et à la figure 6b.

La figure 11 montre des courbes de cyclage de la pile suivante: collecteur d'Al/LiCoO<sub>2</sub>/SPE/C/H où H = A1 sous forme EXMET®

La figure 12a est un schéma d'assemblage d'une pile enroulée à plat en mode biface et dont l'anode est formée à partir d'aluminium déployé enduit de carbone et de deux feuillets de lithium métallique accolés.

La figure 12b est un schéma de la pile enroulée à plat en mode biface déchargée et dont l'anode est formée à partir d'aluminium déployé enduit de carbone et de deux feuillets de lithium métalliques accolés et dans lequel l'excès de métal hôte est utilisé comme collecteur du feuillet d'anode et dont la structure hôte non-alliée déborde latéralement à une extrémité de l'enroulement. Sur cette figure, les débordements latéraux du collecteur d'aluminium de la cathode et du feuillet-hôte de l'anode sont collectés par pulvérisation de contacts métalliques.

L'invention va maintenant être illustrée par les exemples qui suivent donnés à simple fin d'illustration, mais sans caractère limitatif.

#### Exemples:

##### Exemple 1

Dans cet exemple on illustre le comportement d'un feuillet d'aluminium normal de 20 micromètres lorsque mis en contact avec un feuillet de lithium métallique de 18 micromètres. Les feuillets superposés sont illustrés au début de l'essai illustré à la figure 4 et réalisé à partir du dispositif de la figure 3.

On constate après chauffage à 80°C durant une heure, que le feuillet de lithium s'est dissous par réaction avec l'aluminium et que ce dernier a formé des plis multiples ressortant du plan des feuillets en vertu de l'expansion latérale résultant de la formation de l'alliage. Dans une pile complète à électrolyte polymère, ce phénomène entraîne généralement la formation de courts-circuits.



## Exemple 2

Dans cet exemple on reproduit l'essai de l'exemple 1 en remplaçant le feuillard d'aluminium dense par un feuillard ajouré (expanded metal) tel que produit commercialement par la Compagnie EXMET de Naugatuck, Connecticut, USA. Pour faciliter la réaction complète du lithium avec l'alliage d'aluminium, on a recouvert ce dernier d'un film mince de composite C. L'aluminium utilisé mesure 25 micromètres d'épaisseur une fois aplani. La surface ajourée représente environ 50% de la surface totale du feuillard et la largeur des ouvertures est d'environ 124 micromètre 15

tres. Dans cet exemple, la proportion des ouvertures est trop élevée pour qu'après réaction la structure alliée soit complètement fermée. Sur la figure 5a, 5b et 4c on peut voir le détail de la structure hôte après réaction chimique avec le lithium et constater dans la seconde partie qu'aucune cannelure ne s'est développée lors de l'insertion au contraire de l'exemple 1 qui ne permet pas une absorption locale de la variation du volume et du stress. Le feuillard reste parfaitement plan, une condition essentielle pour le bon fonctionnement d'un générateur à électrolyte polymère en films minces. Un autre effet surprenant de cet essai, observable au microscope électronique (figures 5a et 5b), est de constater que la formation de l'alliage sur la maille à partir de la structure de l'aluminium produit une expansion latérale de la partie dense plus faible que ce que laissait prévoir les valeurs du tableau I. L'expansion observée est d'environ 10% alors que la valeur prévisible à partir du Tableau I serait de 94%. Ce phénomène résulte de la nature directionnelle de la source de lithium permettant l'insertion et de la nature solide du dispositif réalisé. Ces observations suggèrent qu'une structure d'aluminium (EXMET®) optimisé devrait comporter un taux d'ajours de l'ordre de 20%.

## Exemple 3

Dans les exemples qui suivent on réalise un générateur complet d'une surface d'environ 4 cm<sup>2</sup> constitué des films suivants, illustrés pour l'exemple 3 par la figure 6 b: collecteur d'Al(+)/SPE/Li<sup>+</sup>C/H: un collecteur d'aluminium de 13 micromètres, une cathode composite, d'environ 45 micromètres d'épaisseur, comprenant de l'oxyde de vanadium, du carbone conducteur et un liant polymère constitué d'un copolymère à base d'oxyde d'éthylène et d'un sel de lithium, le (CF<sub>3</sub>SO<sub>2</sub>)NLi dans un rapport: O (du polyéther)/Li (du sel) de 30/1 en mole. La capacité de cette cathode étant d'environ 4 coulombs par centimètre carré. Le séparateur est de même nature que le liant et mesure 30 micromètres d'épaisseur. Cette demi-pile positive est assemblée par pressage à 80°C. D'autre part, un film de lithium est pressé à 80°C contre un film mince d'une composite de C d'environ 10 micromètres d'épaisseur élaboré sur un support pelable de polypropylène pour des raisons de facilité de manipulation. Ce revêtement de C est ensuite transféré à chaud à 80°C contre un feuillard EXMET®, représenté par H, de 25 micromètres d'épaisseur de façon à faciliter les échanges électriques et ioniques.

Dans un dernier temps, la demi-pile positive est transférée à 80°C sur la face lithium de l'ensemble Li<sup>+</sup>C/H et le générateur ainsi assemblé (type I) est maintenu à 60°C pour la suite des essais qui seront décrit à l'exemple suivant.

Dans cet exemple comme dans les suivants on utilise un excès d'aluminium d'environ 20% relativement à la quantité de lithium présent au départ de façon à laisser une partie de la structure hôte non-réagi afin d'assurer la continuité de la collection de courant dans le plan du feuillard.

## Exemple 4

Dans cet exemple, on compare le comportement du générateur de l'exemple 3 (type I), à un générateur équivalent dont l'anode est un simple feuillard de lithium.

Les courbes initiales de décharge sont comparées à la figure 7 où l'on peut constater un comportement semblable mais un voltage moyen plus bas. Cet abaissement de voltage correspond à l'activité plus faible du lithium dans l'alliage Li-Al, soit entre environ +270 mV et +420 mV vs le Li<sup>+</sup>.

On montre que les performances en cyclage (figure 10) du générateur utilisant l'anode alliée réalisée selon l'invention sont stabilisées et comparables avec ce qui est connu des générateurs utilisant le lithium métallique. A titre de référence, un générateur identique utilisant un feuillard d'aluminium normal développe des court-circuits et perd de la capacité dès les premiers cycles.

## Exemple 5

Cet exemple reprend les éléments des exemples 3 et 4 sauf que la position du film de la composite de carbone est différente, tel qu'indiqué à la figure 6 c. La courbe de décharge initiale est également comparée à celle d'une pile équivalente à anode de lithium et illustrée à la figure 9. L'avantage de ce dispositif est de pouvoir effectuer l'assemblage sans que la pile soit activée à ce moment. C'est uniquement lorsque la réaction de formation de l'alliage est complétée que la pile atteint son plein potentiel, ce qui rend l'opération d'assemblage encore plus sécuritaire.

## Exemple 6

Dans cet exemple on effectue un essai visant à illustrer une caractéristique importante de l'invention au niveau de la sécurité.

On utilise une pile correspondant au dispositif de l'exemple 5 illustré à la figure 6 c pour un essai comparatif de stabilité thermique avec une pile identique à anode de lithium métallique.

La technique utilisée est connue sous le nom d'ARC (Accelerated Rate Calorimetry) (Columbia Scientific, Austin, Texas USA) et porte successivement la température de l'échantillon à des températures de plus en plus élevées jusqu'à ce qu'une réaction thermique spontanée entre les éléments de la pile génèrent une chaleur additionnelle (stabilisation de la montée de température temporaire). C'est une technique sensible reconnue pour détecter des réactions exothermiques pouvant présenter un danger dans des conditions abusives d'utilisation.

Essais comparatifs de calorimétrie ARC entre: une cellule complète de type II selon l'invention telle que réalisé à l'exemple 5 et pesant environ 0,5157 g, un échantillon constitué d'un film d'électrolyte polymère identique à l'essai précédent et d'un film de lithium métallique de 22 micromètres d'épaisseur.

Avec l'échantillon illustré sur la figure figure 8, la courbe de montée de température n'indique aucun effet d'auto-échauffement dans tout le domaine de température étudié même s'il s'agit d'une pile complète.

Dans des conditions similaires l'échantillon figure 8 a) sans cathode et avec lithium métallique montre un exotherme visible vers 255°C, c'est-à-dire au dessus de la température de fusion du lithium ~ 180°C. Un échantillon complet, c'est-à-dire contenant également une cathode présente parfois un fort exotherme résultant du court-circuit consécutif à la fusion du lithium.

Cet essai indique bien l'apport de l'invention sur le plan de la sécurité dans la mesure où l'on arrive à réaliser une anode de lithium allié, non-fusible, en film mince, sous forme dense et à réaliser ainsi un générateur entièrement à l'état solide à des températures supérieures à 300°C.

## Exemple 7

Dans cet exemple on utilise le dispositif illustré à la figure 6 d dans lequel la source de lithium provient de la cathode préparée à l'état déchargé. L'oxyde de vanadium est remplacée dans ce cas par de l'oxyde de cobalt pré-inséré préparé par synthèse.

La figure 11 montre l'évolution au cyclage du voltage de cette pile à anode monoface préparée avec un film de composite C, de type I I I et correspondent à l'assemblage suivant: collecteur d'Al/LiCoO<sub>2</sub>/SPE/C/H.

## Exemple 8

Dans cet exemple on assemble une pile par co-enroulement à plat des films suivants en configuration double biface, tel qu'illustré aux figures 6 e, 12 b et 12 d. Sur la figure on ne représente pas les films mince de C appliqués sur chaque face de la structure hôte.

SPE/(+)/collecteur d'Al/(+)/SPE

et

Li<sup>0</sup>, C/H/C et Li<sup>0</sup> mis en contact au moment de l'assemblage.

L'ensemble est mis sous presse à 40° puis à 80°C pour une demi-heure de façon à bien compléter la formation de l'alliage.

Les contacts latéraux sont obtenus en pulvérisant du cuivre par la technique du Shoopage (CA 2,068,290) sur les débordements latéraux du collecteur d'aluminium de la cathode et sur le débordement latéral du métal hôte d'aluminium non-réagi de l'anode.

Le comportement électrochimique de l'ensemble est équivalent à celui de la pile de 4 cm<sup>2</sup> illustrée aux exemples 3 et 4, toute proportion gardée pour les surfaces mises en jeu.

## Exemple 9

Dans cet exemple on démontre à partir du dispositif de la figure 3, le comportement d'un feuillard d'étain, ajouré par perforation laser, lors de la formation de l'alliage de composition ~ Li<sub>4</sub>Sn. On constate malgré le caractère rudimentaire de la préparation du feuillard que l'on supprime toute déformation dans le plan du feuillard lors de l'insertion.

ANODES NON FUSIBLES						
Avant			Après			
Anodes déchargées	cm <sup>3</sup> /Ah	cm <sup>3</sup> /C (xE-4)	Anodes chargées	cm <sup>3</sup> /Ah	cm <sup>3</sup> /C (xE-4)	Variation Cm <sup>3</sup> /Ah
Li	0,49	1,36	Li	0,49	1,36	0
C	1,19	3,32	LiC <sub>6</sub>	1,47	4,09	23
Si	0,11	0,30	Li <sub>21</sub> Si <sub>5</sub>	0,44	1,22	309
As	0,16	0,45	Li <sub>3</sub> As	0,49	1,36	201
Al	0,37	1,04	LiAl	0,72	2,01	94
Sn	0,14	0,40	Li <sub>21</sub> Sn <sub>5</sub>	0,51	1,43	257
Sb	0,23	0,63	Li <sub>3</sub> Sb	0,56	1,55	147
Pb	0,15	0,43	Li <sub>22</sub> Pb <sub>5</sub>	0,52	1,44	237

T-1: Tableau montrant l'expansion volumique des différents alliages calculée selon la référence: R. Nesper, Prog. Solid St. Chem., Vol 20, pp. 1-45, 1990.

Il est entendu que des modifications évidentes à l'homme de l'art sont possibles sans sortir du cadre de cette invention, à la condition bien entendu qu'elles soient généralement prévues par les revendications annexées.

## Revendications

- Générateur électrochimique comprenant des films minces incluant une électrode positive et son collecteur, et un feuillard d'un métal hôte destiné à constituer ultérieurement une électrode négative, de même qu'un électrolyte conducteur d'ions alcalins ainsi qu'un moyen constituant une source d'ions alcalins, caractérisé en ce que ledit feuillard de métal hôte présente des vides, la quantité de vides et leur disposition dans ledit feuillard de métal hôte étant propre à absorber localement dans lesdits vides toute expansion latérale dudit feuillard de métal hôte et ainsi prévenir substantiellement tout changement cumulatif dans le plan dudit feuillard de métal hôte lorsqu'il y a formation initiale d'alliage dans ledit feuillard entre ledit métal hôte et un métal alcalin apporté par lesdits ions alcalins.
- Générateur selon la revendication 1, à l'état chargé, caractérisé en ce que ledit feuillard est au moins en partie devenu un alliage dudit métal hôte et dudit métal alcalin.
- Générateur selon la revendication 1 ou 2, caractérisé en ce que la source d'ions alcalins est constituée par un feuillard de métal alcalin mis en contact avec ledit feuillard de métal hôte, le métal alcalin provenant de ladite source d'ions alcalins étant allié avec ledit métal hôte lorsque le générateur est à l'état chargé.
- Générateur selon la revendication 1 ou 2, caractérisé en ce que la source d'ions alcalins se retrouve dans l'électrode positive, le métal alcalin au départ de ladite source d'ions alcalins étant allié avec ledit métal hôte lorsque le générateur est à l'état chargé.
- Générateur selon la revendication 1 ou 2, caractérisé en ce que la source d'ions alcalins est constituée par un feuillard de métal alcalin mis en contact avec ledit feuillard de métal hôte, et se retrouve aussi dans l'électrode positive, le métal alcalin au départ dudit feuillard de métal alcalin et de ladite source d'ions alcalins étant allié avec ledit métal hôte lorsque le générateur est à l'état chargé.
- Générateur selon la revendication 1 ou 2, dans lequel le métal hôte est constitué d'un métal capable de former des alliages à haute activité en métal alcalin et dans lequel la diffusion du métal alcalin est rapide.
- Générateur selon les revendications 1 à 6, dans lequel le constituant principal du métal hôte est choisi parmi Al, C, Sn, Pb, Ag, Si, Zn, Mg ou des combinaisons de ces derniers.
- Générateur selon les revendications 1 à 7, dans lequel les vides du feuillard de métal hôte représentent entre environ 5 et 80% de la surface totale ou de la masse dudit feuillard de métal hôte.

9. Générateur selon les revendications 1 à 8, dans lequel l'électrolyte conducteur d'ions alcalins comprend un électrolyte polymère.

10. Générateur selon les revendications 1 à 9, dans lequel le métal hôte est en quantité excédentaire par rapport au métal alcalin de façon à laisser une partie du métal hôte non réagi lui permettant ainsi d'agir comme collecteur de courant sur le plan du feuillard de métal hôte.

11. Générateur selon la revendication 3, dans lequel le feuillard d'électrode négative en alliage est obtenu après assemblage dudit générateur par traitement thermique dudit feuillard de métal hôte et dudit feuillard de métal alcalin en contact avec ledit feuillard de métal hôte, ledit traitement thermique étant effectué sous pression ou confinement mécanique et dans des conditions assurant le maintien de la planéité du feuillard d'électrode négative.

12. Générateur selon les revendications 1 à 11, dans lequel le feuillard de métal hôte a une épaisseur entre environ 1 et 150 µm.

13. Méthode de fabrication d'un générateur électrochimique selon laquelle on prépare des films minces incluant une électrode positive et son collecteur, et un feuillard d'un métal hôte destiné à constituer ultérieurement une électrode négative de même qu'un électrolyte conducteur d'ions alcalins ainsi qu'un moyen constituant une source d'ions alcalins et que l'on dispose l'électrode négative et ledit feuillard de part et d'autre dudit électrolyte conducteur, caractérisé en ce que l'on choisit ledit feuillard à partir d'un feuillard d'un métal hôte présentant des vides, la quantité de vides et leur disposition dans ledit feuillard de métal hôte étant propre à absorber localement dans lesdits vides toute expansion latérale dudit feuillard de métal hôte et ainsi prévenir substantiellement tout changement cumulatif dans le plan dudit feuillard de métal hôte lorsqu'il y a formation initiale d'alliage dans ledit feuillard entre ledit métal hôte et un métal alcalin apporté par lesdits ions alcalins, et l'on assemble ensuite les films, l'électrolyte conducteur et la source d'ions alcalins de façon à constituer ledit générateur.

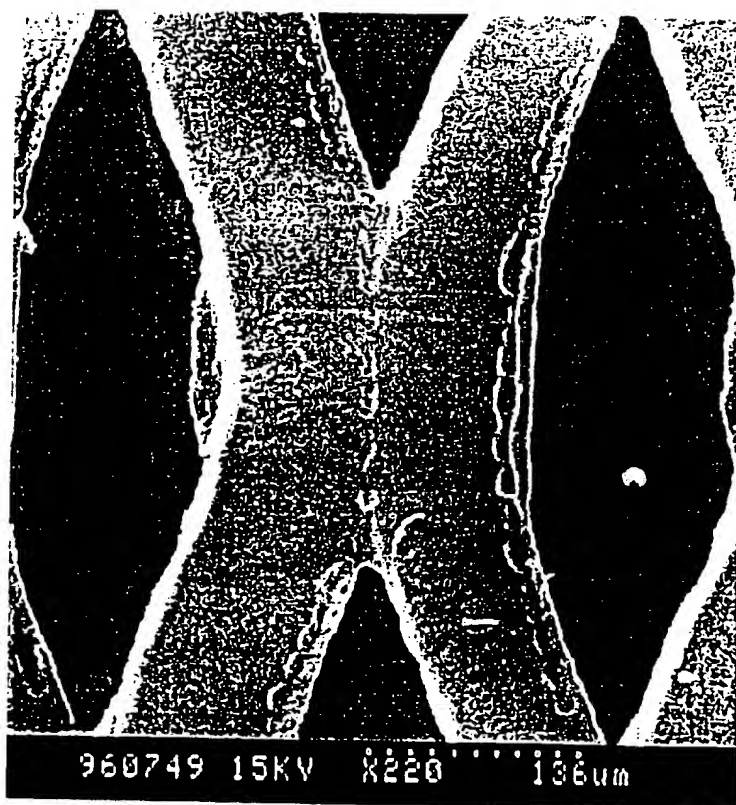
14. Méthode selon la revendication 13, caractérisée en ce que l'on met en contact le dit feuillard de métal hôte avec un feuillard de métal alcalin et l'on effectue ainsi la charge du générateur, le métal alcalin étant alors allié avec ledit métal hôte.

15. Méthode selon la revendication 13, caractérisée en ce que l'on localise la source d'ions alcalins dans l'électrode positive, et l'on effectue alors la charge électrochimique du générateur, le métal alcalin au départ de ladite source d'ions alcalins étant allié avec ledit métal hôte.

16. Méthode selon les revendications 13 à 15, dans laquelle l'on traite le feuillard de métal hôte par découpe-étirement et éventuellement relaminage pour obtenir ledit feuillard présentant des vides sous forme de métal déployé.

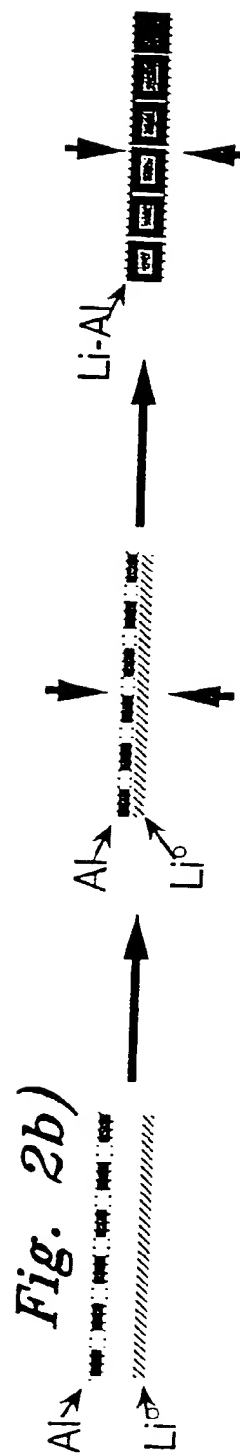
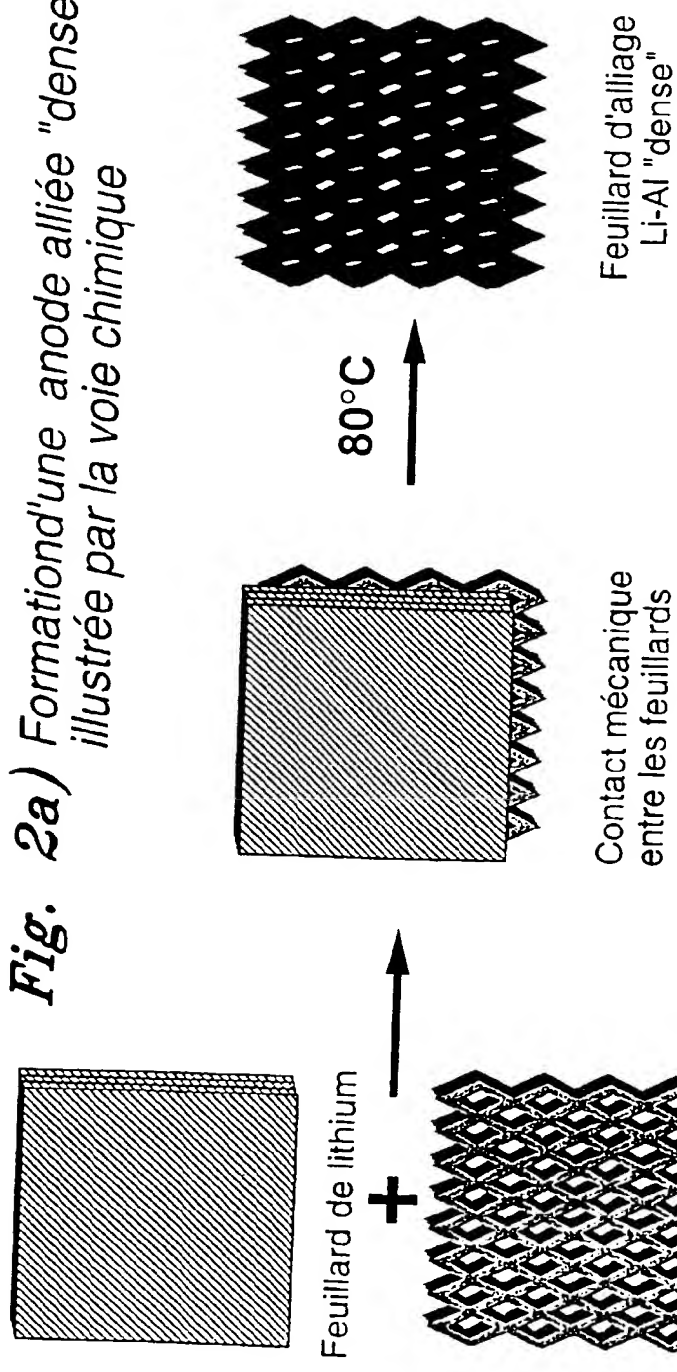
17. Méthode selon les revendications 13 à 16, caractérisée en ce que l'on introduit une couche d'électrolyte polymère sur le feuillard de métal hôte sur au moins l'une de ses faces, et que l'on dispose ladite couche sur ledit feuillard de métal hôte de façon à maximiser les échanges ioniques entre l'alliage et l'électrolyte conducteur d'ions alcalins agissant comme séparateur entre l'électrode négative et l'électrode positive.

18. Méthode selon la revendication 17, caractérisée en ce que l'on introduit du carbone dans l'électrolyte polymère et que l'on distribue ce dernier dans ledit électrolyte polymère de façon à ce qu'il agisse comme additif de conduction électronique, afin de maximiser les échanges ioniques et les échanges électroniques.

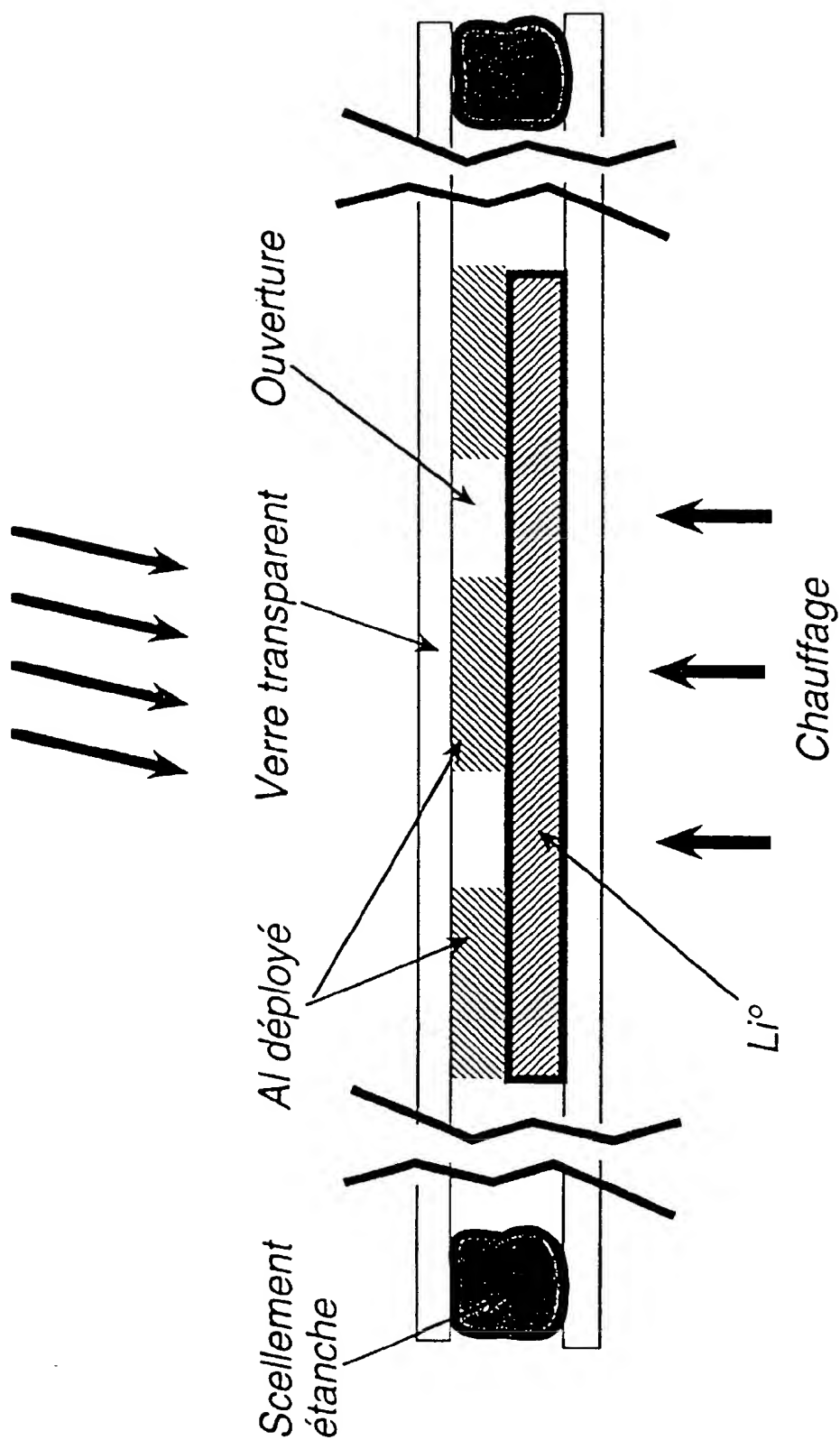


*Fig. 1*

**Fig. 2a)** Formation d'une anode alliée "dense" illustrée par la voie chimique

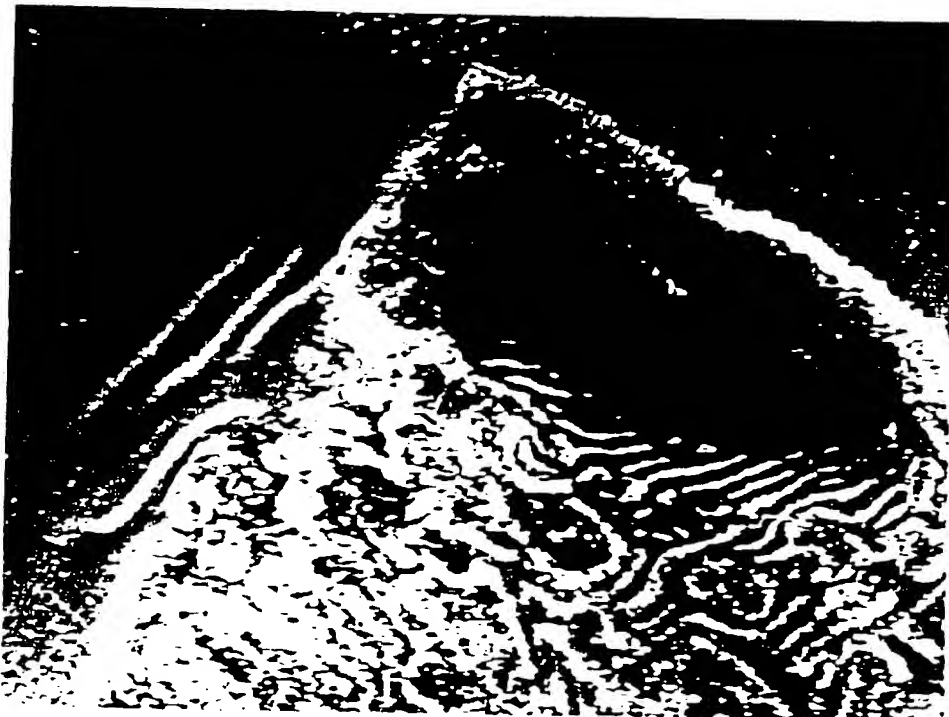


**Fig. 3)** Dispositif pour observation optique in-situ de la formation du feuillard d'anode "dense"





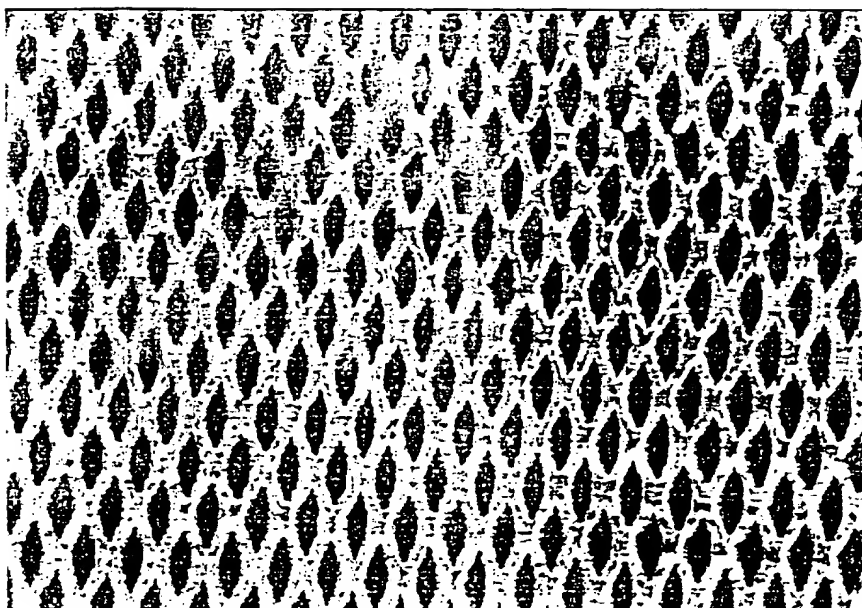
*Fig. 4a*



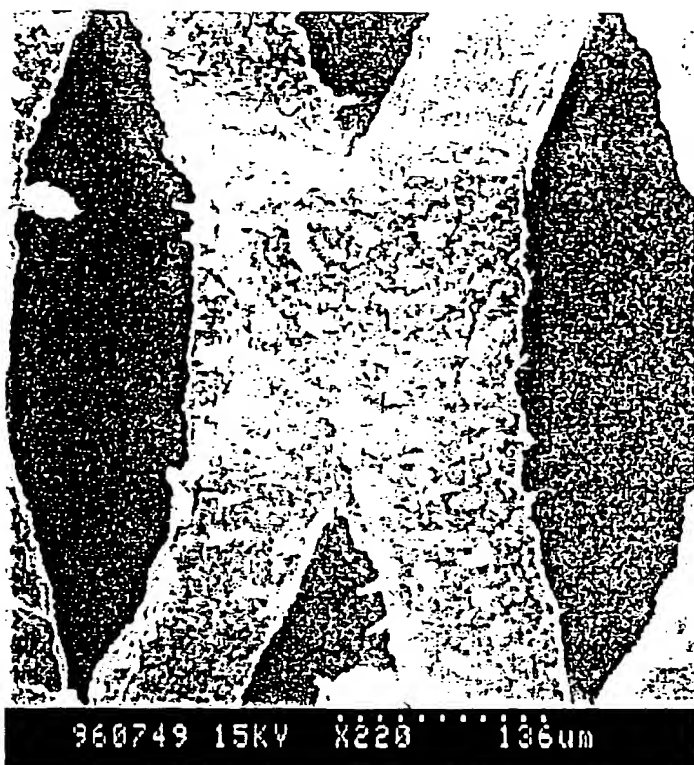
*Fig. 4b*



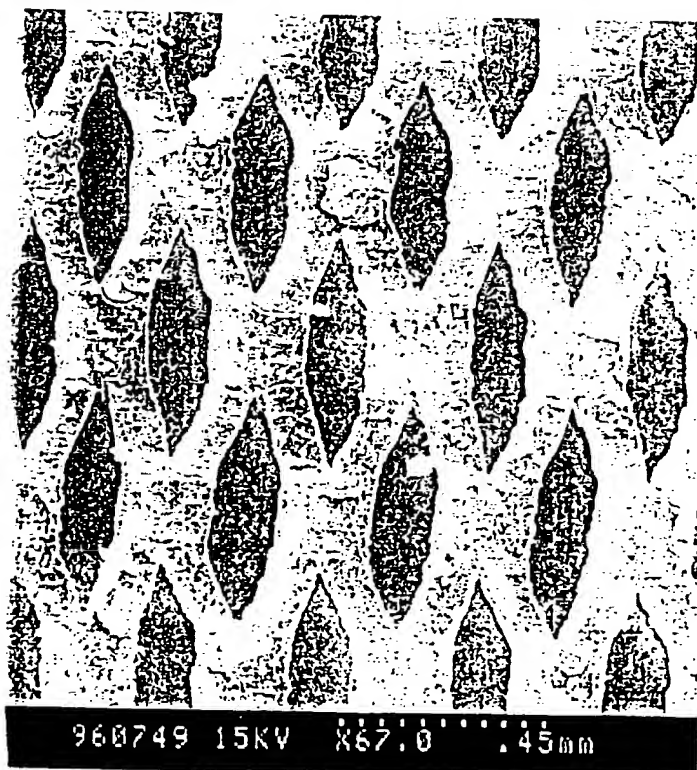
CAACEP2\CANUL3.PCI



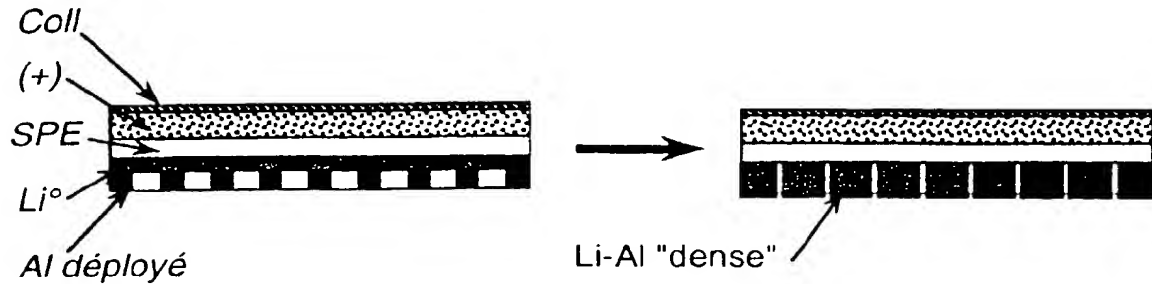
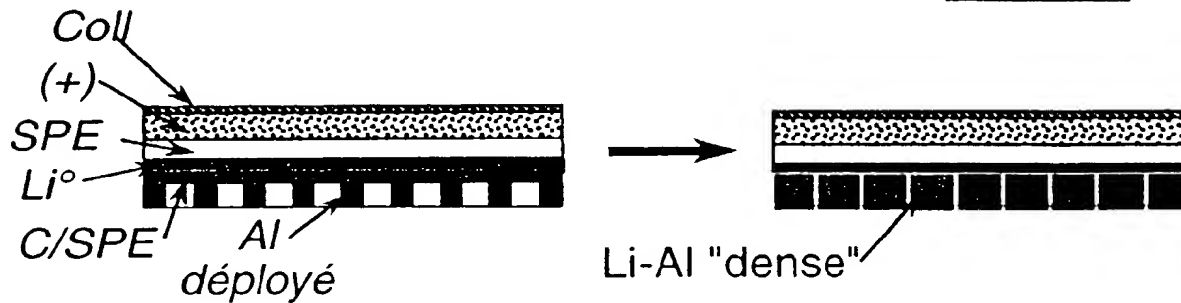
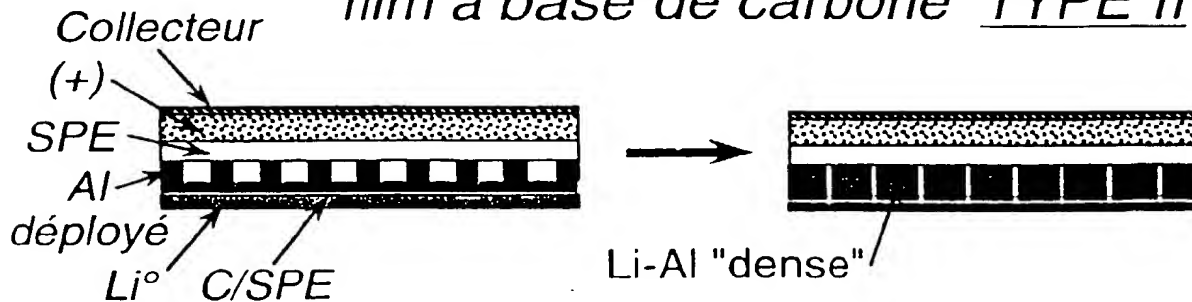
*Fig. 4c*



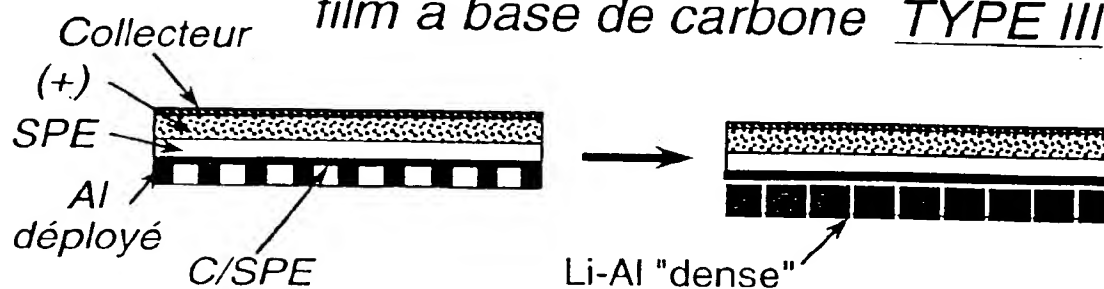
*Fig. 5a*



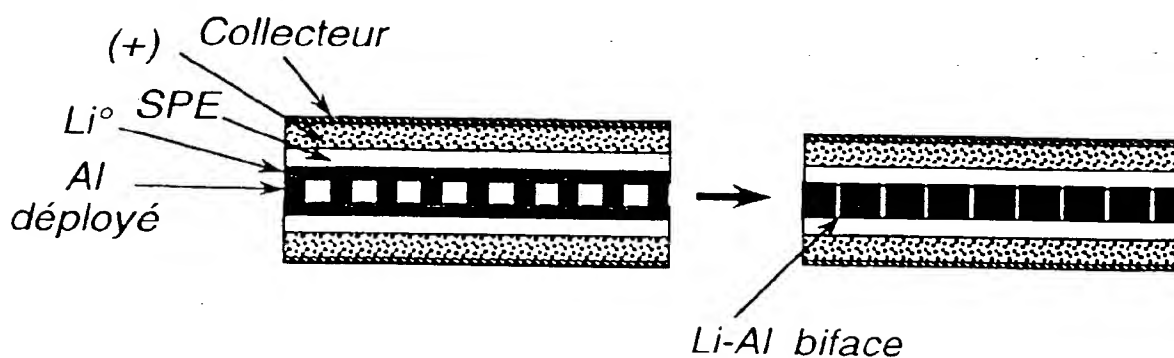
*Fig. 5b*

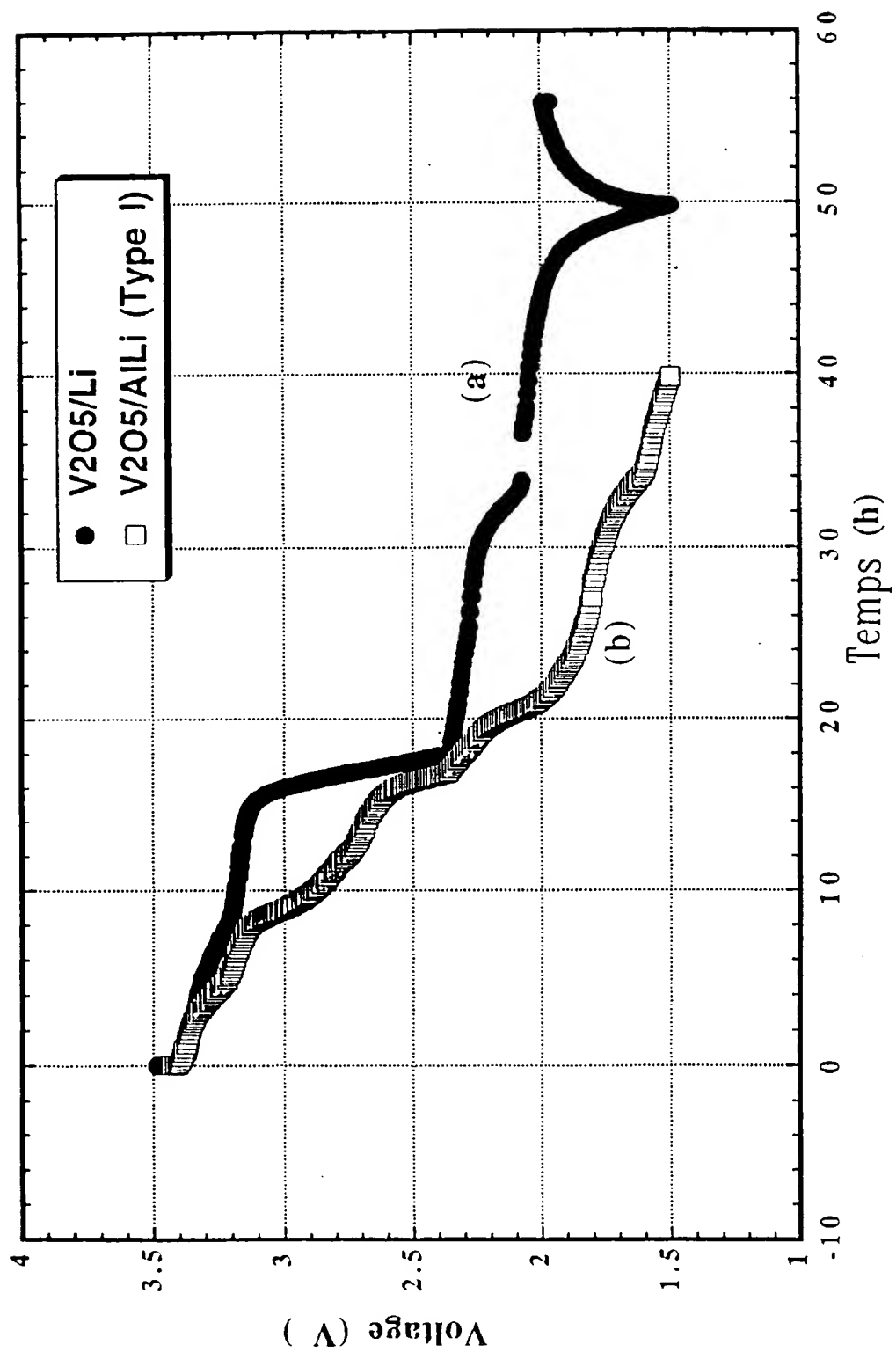
**Fig. 6a)***Pile à anode monoface***Fig. 6b)** *Piles à anode monoface avec film à base de carbone TYPE I***Fig. 6c)** *Piles à anode monoface avec film à base de carbone TYPE II*

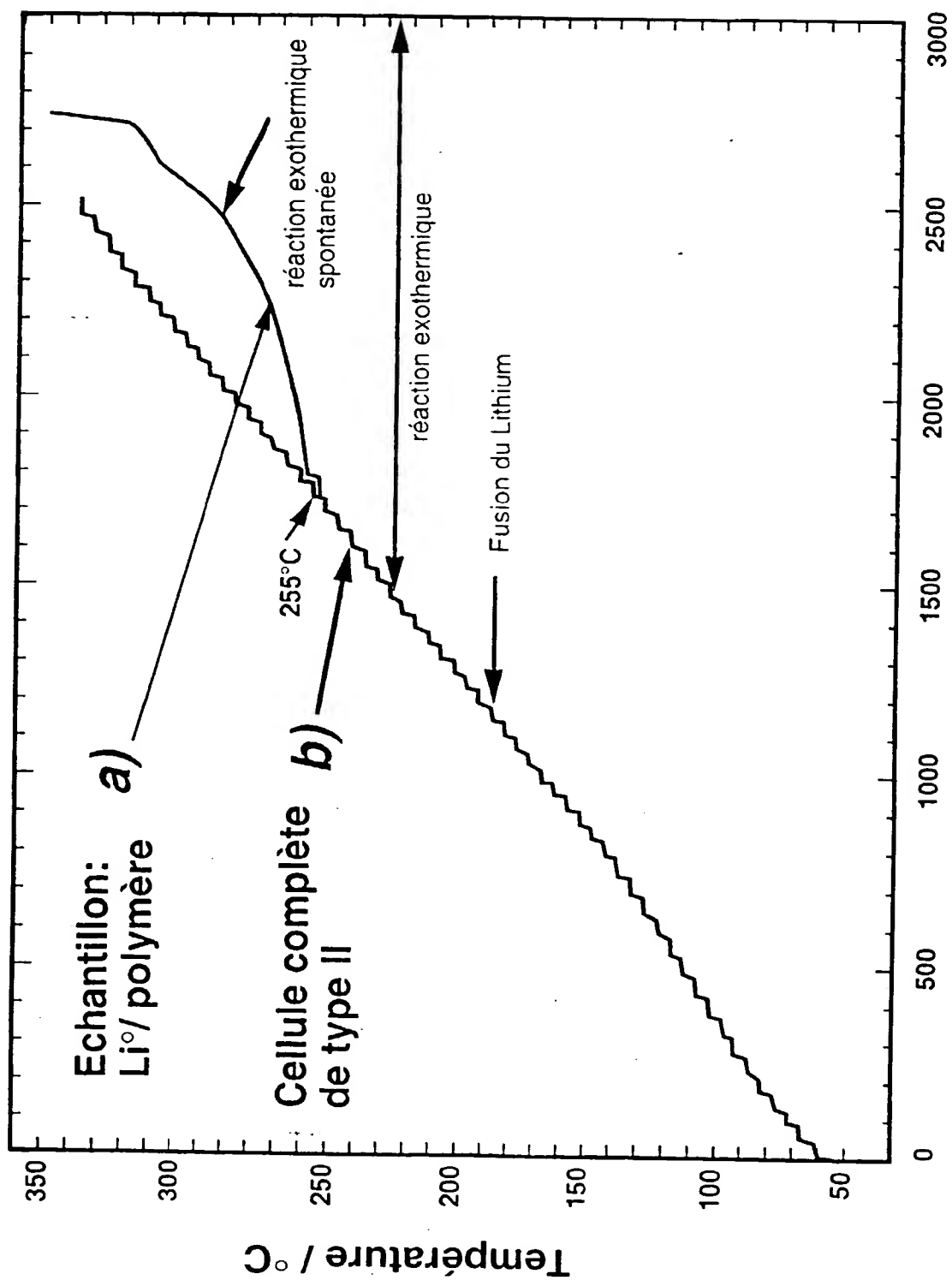
**Fig. 6d)** Piles à anode monoface avec film à base de carbone TYPE III



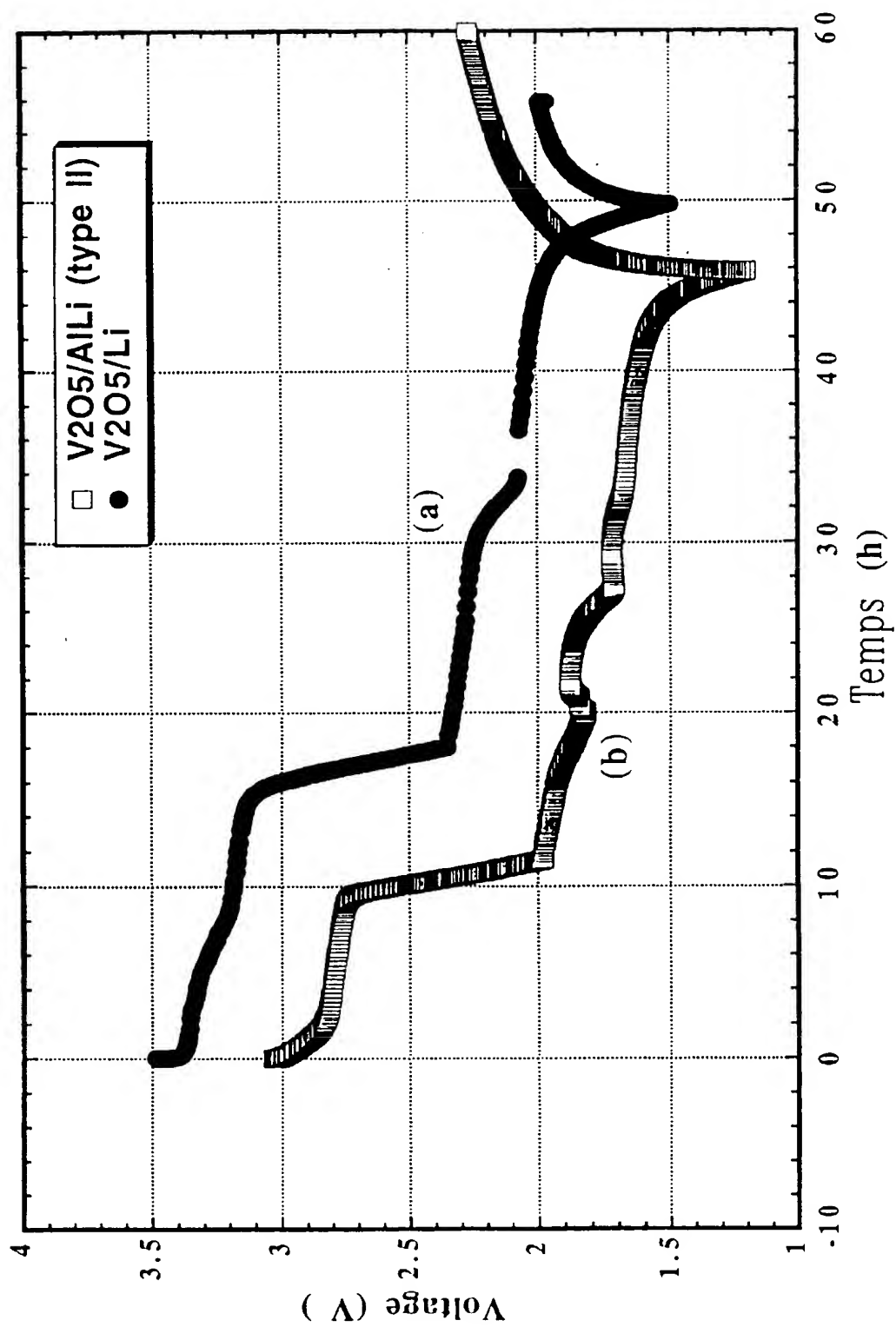
**Fig. 6e)** Pile à anode biface



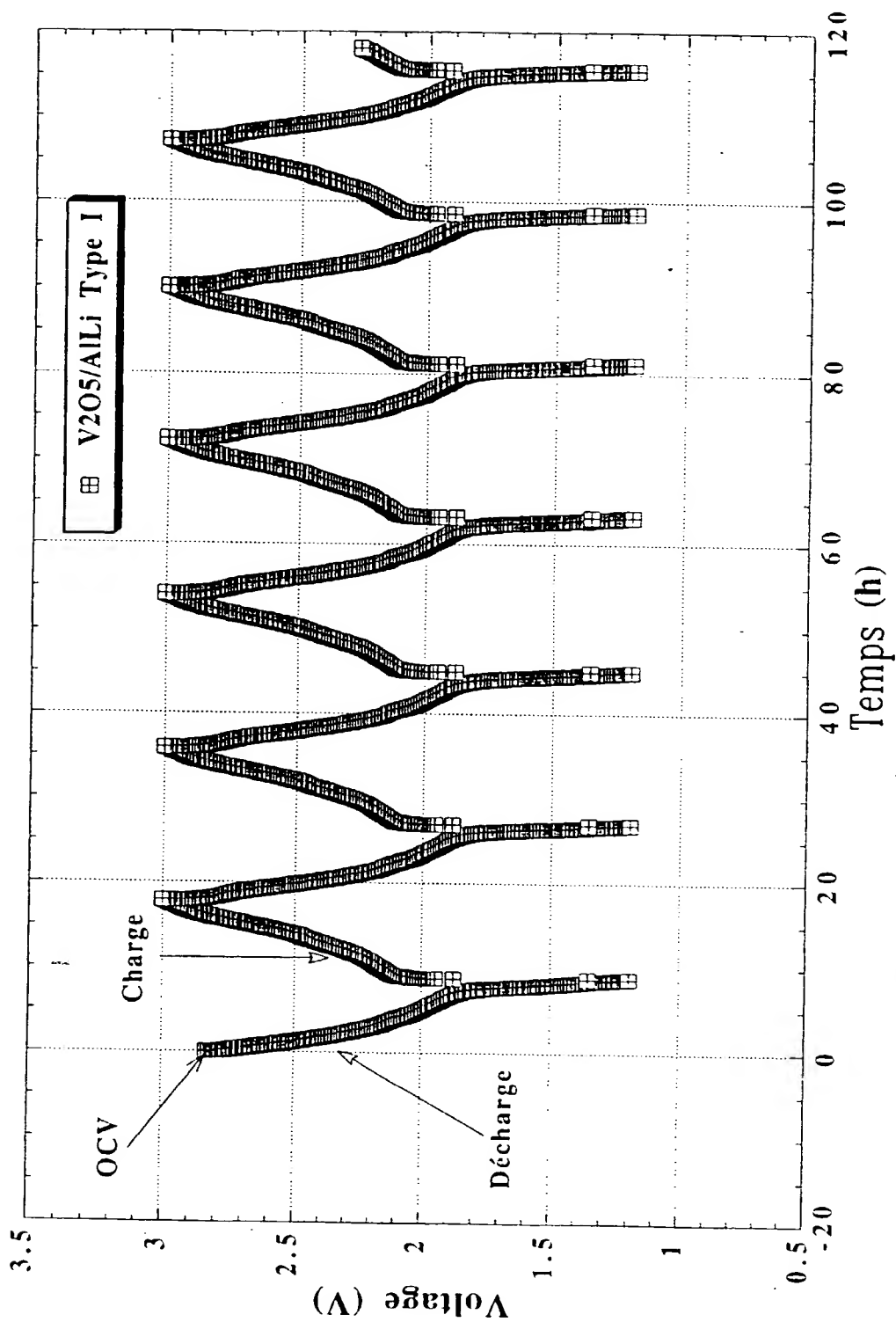
*Fig. 7 (type I)*



**Fig. 8**  
Temps/min. (Echantillons de 0,5 à 1g)

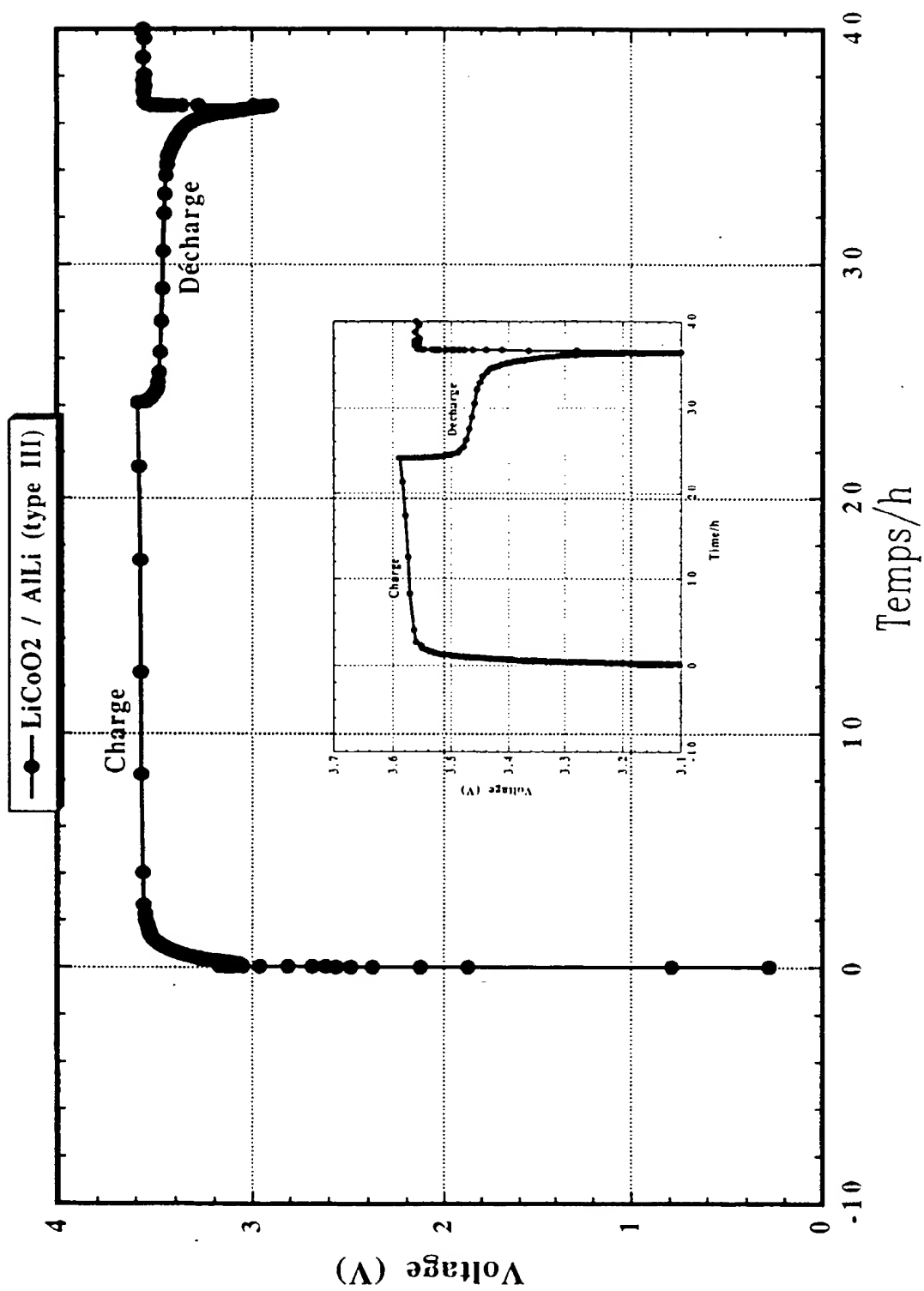


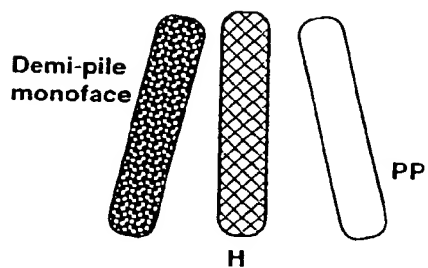
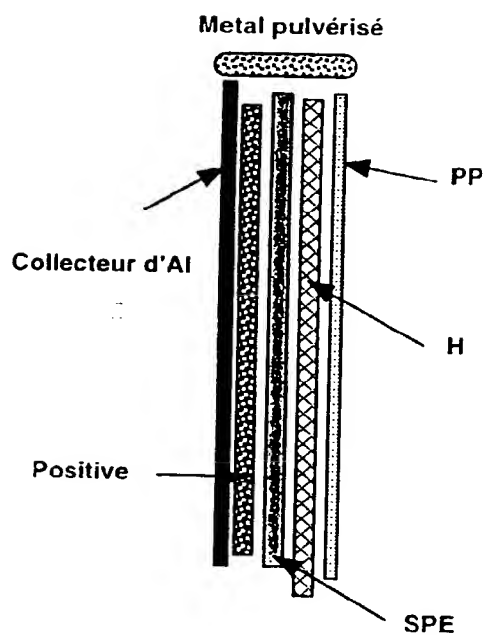
**Fig. 9** (Type II)



**Fig. 10)** cyclage de la pile de Type I

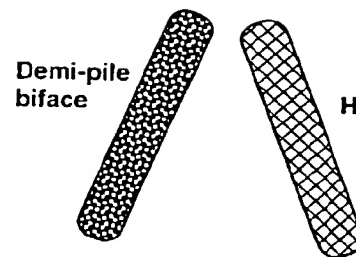
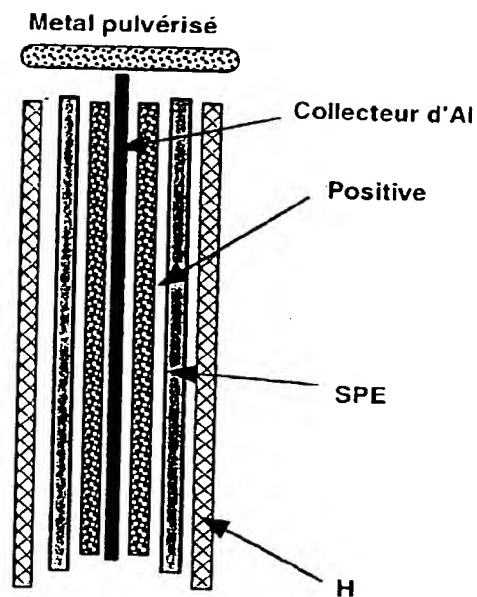


*Fig. 11* (type III)



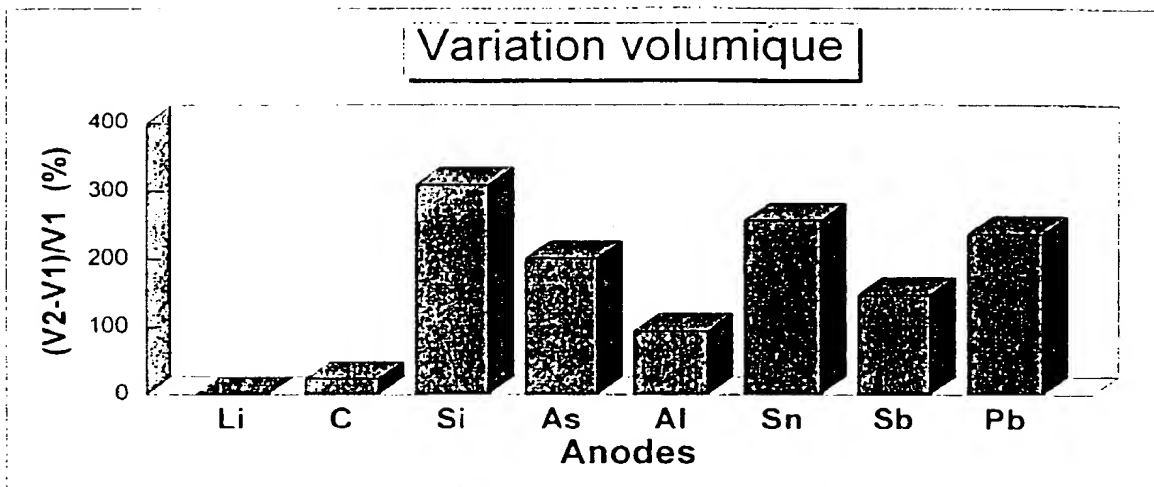
Monoface déchargé

*Fig. 12a*



Biface déchargé.

*Fig. 12b*



*Fig. 13*



Office européen  
des brevets

## RAPPORT DE RECHERCHE EUROPEENNE

Numéro de la demande  
EP 98 40 0913

DOCUMENTS CONSIDERES COMME PERTINENTS			
Categorie	Citation du document avec indication, en cas de besoin, des parties pertinentes	Revendication concernée	CLASSEMENT DE LA DEMANDE (Int.Cl.6)
X	JP 08 321 300 A (CANON INC) 3 décembre 1996	1-7.9.13	H01M4/02 H01M4/40
P.X	& US 5 702 845 A (KAWAKAMI ET AL) 30 décembre 1997 * colonne 3, ligne 49 - colonne 5, ligne 35; figures * * colonne 14, ligne 7-23 * * colonne 15, ligne 49-63 * * colonne 17, ligne 4-33 *	1-7.9.13	
X	PATENT ABSTRACTS OF JAPAN vol. 015, no. 009 (E-1021), 9 janvier 1991 & JP 02 262273 A (SANYO ELECTRIC CO LTD), 25 octobre 1990, * abrégé *	1-7.9, 13-15,17	
X	BESENHARD J O ET AL: "Will advanced lithium-alloy anodes have a chance in lithium-ion batteries?" JOURNAL OF POWER SOURCES, vol. 68, no. 1, 1997, page 87-90 XP004100203 * page 89; figure 7 * & DATABASE INSPEC INSTITUTE OF ELECTRICAL ENGINEERS, STEVENAGE, GB Inspec No. Inspec No 5833035, * abrégé *	1-7.9, 13-15,17	DOMAINES TECHNIQUES RECHERCHES (Int.Cl.6)
A	US 4 652 506 A (BELANGER ANDRE ET AL) 24 mars 1987 * le document en entier *	1-18	H01M
A	EP 0 692 833 A (MOLI ENERGY 1990 LTD) 17 janvier 1996 * page 7, ligne 3-44 *	1-18	
-/--			
Le présent rapport a été établi pour toutes les revendications			
Lieu de la recherche <b>MUNICH</b>		Date d'achèvement de la recherche <b>28 juillet 1998</b>	Examineur <b>Engl. H</b>
<p>CATEGORIE DES DOCUMENTS CITES</p> <p>X : particulièrement pertinent à lui seul Y : particulièrement pertinent en combinaison avec un autre document de la même catégorie A : arrière-plan technologique O : divulgation non-écrite P : document intercalaire</p> <p>T : théorie ou principe à la base de l'invention E : document de brevet antérieur, mais publié à la date de dépôt ou après cette date D : cité dans la demande L : cité pour d'autres raisons &amp; : membre de la même famille, document correspondant</p>			

EPO FORM 1503 03/82 (P04C02)



Office européen  
des brevets

## RAPPORT DE RECHERCHE EUROPEENNE

Numero de la demande  
EP 98 40 0913

DOCUMENTS CONSIDERES COMME PERTINENTS			
Catégorie	Citation du document avec indication, en cas de besoin, des parties pertinentes	Revendication concernée	CLASSEMENT DE LA DEMANDE (Int.CI.6)
A	BESENHARD J O ET AL: "DIMENSIONALLY STABLE LI-ALLOY ELECTRODES FOR SECONDARY BATTERIES" SOLID STATE IONICS, vol. 40 / 41, no. PART 02, 1 août 1990, pages 525-529, XP000173410 * page 525 * * tableau 1 *	1-18	
A	DATABASE INSPEC INSTITUTE OF ELECTRICAL ENGINEERS, STEVENAGE, GB Inspec No. 5493952, YANG J ET AL: "Small particle size multiphase Li-alloy anodes for lithium-ion-batteries" XP002070195 * abrégé * & SOLID STATE IONICS, DIFFUSION & REACTIONS, SEPT. 1996, ELSEVIER, NETHERLANDS, vol. 90, no. 1-4, ISSN 0167-2738, pages 281-287.	1-18	
Le présent rapport a été établi pour toutes les revendications			DOMAINES TECHNIQUES RECHERCHES (Int.CI.6)
Lieu de la recherche <b>MUNICH</b>		Date d'achèvement de la recherche <b>28 juillet 1998</b>	Examineur <b>Engl, H</b>
<p>CATEGORIE DES DOCUMENTS CITES</p> <p>X : particulièrement pertinent à lui seul Y : particulièrement pertinent en combinaison avec un autre document de la même catégorie A : arrière-plan technologique O : divulgation non-écrite P : document intercalaire</p> <p>T : théorie ou principe à la base de l'invention E : document de brevet antérieur, mais publié à la date de dépôt ou après cette date D : cité dans la demande L : cité pour d'autres raisons &amp; : membre de la même famille, document correspondant</p>			

EPO FORM 1503 03.82 (P04C02)

